

## 鲁山冬凌草素的结构研究

秦崇秋 刘晨江 李继成 安新宗

(河南省医学科学研究所)

孙汉董\* 林中文

(中国科学院昆明植物研究所)

冬凌草甲素和乙素 [rubescensin A (=oridonin), B (=ponicidin)] 为冬凌草 [*Rabdosia rubescens* (Hemsl.) Hara] 中的两个抗癌有效成份, 对多种动物移植性肿瘤有一定的抗肿瘤作用, 对食管癌、肝癌等有一定疗效<sup>[1, 2]</sup>。为了进一步探讨不同产地冬凌草的抗癌活性成份, 我们对河南省鲁山县地区产的冬凌草进行了研究。从叶的乙醚提取物中除分离到  $\alpha$ -amyrin 和 ursolic acid 外, 还分离得到了一个新的二萜苦味成份, 命名为鲁山冬凌草素 (lushanrubescensin) (1), 药理实验 (另报) 表明, (1) 具有一定的抗肿瘤活性, 为冬凌草中的另一抗癌有效成份。文本报其结构研究。

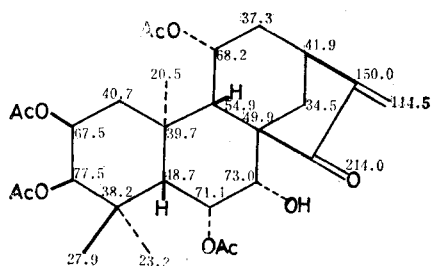
鲁山冬凌草素 (1), 甲醇中得无色棱柱状结晶, mp 188—190°C,  $C_{28}H_{38}O_{10}$  ( $M^{+1}$  535),  $[\alpha]_D^{25} -62.1^\circ$  ( $C=0.99$ ,  $C_5H_5N$ );  $\lambda_{max}$  (EtOH): 239nm ( $\epsilon 8206$ );  $\nu_{max}$  (KBr): 1703 和 1645  $cm^{-1}$ ;  $^1H$  NMR ( $C_5D_5N$ )  $\delta$ : 6.07 和 5.37 (各 1H, s);  $^{13}C$  NMR ( $C_5D_5N$ ) (见图 1)  $\delta$ : 114.5 (t) 和 150.0 (环外亚甲基), 214.0 (s, 酮); 以及 (1) 用  $PtO_2$  作催化剂催化氢化得到了二氢化物 (3) [mp 218—220°C,  $C_{28}H_{40}O_{10}$  ( $M^{+1}$  537)], (3) 的  $^1H$  NMR ( $C_5D_5N$ ) 中,  $\delta$  6.07 和 5.37 的环外亚甲基信号消失, 而在  $\delta$  1.25 (3H, d,  $J=7Hz$ ) 处出现一个仲甲基, 以上光谱数据提示 lushanrubescensin (1) 有着典型的香茶菜属 (*Rabdosia*) 二萜化合物的对映-15-氧-16-贝壳杉烯 (ent-15-oxo-16-kaurene) 的骨架。

鲁山冬凌草素 (1) 具有一个仲羟基和四个乙酰氧基: IR 3440 (OH), 1730, 1248 和 1225 (OAc)  $cm^{-1}$ ;  $^1H$  NMR  $\delta$  5.80—5.37 (3H, m), 5.33 (1H, d,  $J=3Hz$ ) 和 4.05 (1H, d,  $J=4Hz$ );  $^{13}C$  NMR  $\delta$  77.5 (d), 73.0 (d), 71.1 (d), 68.2 (d) 和 67.5 (d)。这由 (1) 用醋酐-吡啶乙酰化后生成五乙酰化物 (2) ( $C_{30}H_{40}O_{12}$ , mp 176—179°C) 而得到证实。

鲁山冬凌草素在 CI-MS 测定中  $m/z$  295 ( $C_{15}H_{19}O_6$ ) 和 241 ( $C_{13}H_{21}O_4$ ) 的碎片峰是由于 B 环断裂而生成的<sup>[3]</sup>, 从而表明了二个乙酰氧基位于 A 环上, 另外二个乙酰氧基和一个仲羟基位于 B, C 环上。

(1) 的 $^{13}\text{C}$  NMR数据中于 $\delta$  68.2(d)和67.5(d)的两个次甲基碳的化学位移值说明在 $\text{C}_2$ 和 $\text{C}_{11}$ 位必然有乙酰氧基存在。因为在对映-贝壳杉烯(ent-kaurene)型化合物中, 由于 $r$ -立体效应所致,  $\text{C}_2$ ,  $\text{C}_{11}$ 和 $\text{C}_6$ 比其它各个碳有着较高场的化学位移值<sup>[4]</sup>, 这几个碳被氧化成为次甲基碳后, 其中 $\text{C}_2$ 和 $\text{C}_{11}$ 的化学位移值均在 $\delta$  60—70ppm以内(当 $\text{C}_7$ 没有被氧化时, 包括 $\text{C}_6$ 在内), 而其它各个次甲基碳, 其 $\delta$ 值均在70ppm以上<sup>[5, 6]</sup>。由 $\text{C}_{18}$  [ $\delta$  27.9(q)]和 $\text{C}_5$  [ $\delta$  48.7(d)]的高场化学位移值提示A环的另一个乙酰氧基位于 $\text{C}_3$ 的 $\beta$ 位。这是由于乙酰氧基中羰基对 $\text{C}_{18}$ 和 $\text{C}_5$ 的屏蔽效应使得这两个碳向高场位移了3—5 ppm。另外, 由 $\text{C}_3$   $\alpha$ -H受到 $\text{C}_2$ 乙酰氧基的去屏蔽效应而具有低场的化学位移 $\delta$  5.33(d,  $J=3\text{Hz}$ )的事实说明A环的另一个乙酰氧基应位于 $\text{C}_2$ - $\beta$ 位<sup>[7]</sup>。

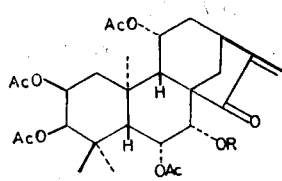
B、C环中的二个乙酰氧基分别位于 $\text{C}_6$ 和 $\text{C}_{11}$ 的 $\alpha$ 位, 仲羟基位于 $\text{C}_7$ - $\alpha$ 位由下列事实得到支持: 在(1)的 $^{13}\text{C}$  NMR中,  $\text{C}_{10}$ 由于受到 $\text{C}_6$   $\alpha$ -OAc的去屏蔽作用而有着较低的化学位移值 $\delta$  23.2(q); 另一方面, 由 $\text{C}_7$   $\beta$ -H( $\delta$  4.05)的偶合情况(d,  $J_{7\beta, 6\beta}=4\text{Hz}$ )也说明 $\text{C}_6$ 的-OAc应是 $\alpha$ -取向。根据迄今为止从同属植物所分离鉴定的ent-kaurene型二萜化合物的取代情况及其生源考虑,  $\text{C}_7$ -OH只可能是 $\alpha$ -取向。若是 $\beta$ -取向, 将由于 $\text{C}_7$ -OH  $r$ -立体效应的影响,  $\text{C}_5$ 将位于更高场, 事实上由 $\text{C}_5$  ( $\delta$  48.7)的化学位移值说明,  $\text{C}_5$ 仅受到 $\text{C}_3$   $\beta$ -OAc的屏蔽效应影响, 而没有受到其它的屏蔽作用, 由此亦说明 $\text{C}_7$ -OH为 $\alpha$ -取向。最后, 关于 $\text{C}_{11}$ -OAc的取代, 是由 $\text{C}_{20}$ 有着异常低的化学位移值 [ $\delta$  20.5(q)] 清楚表明 $\text{C}_{20}$ 除了受到 $\text{C}_6$   $\alpha$ -OAc的去屏蔽效应外还受到了来自位于 $\text{C}_{11}$   $\alpha$ 位的一OAc的去屏蔽效应; 这还由在 $^1\text{H}$  NMR中 $\text{C}_{20}$ - $\text{CH}_3$ 具有低场的化学位移 [ $\delta$  1.51(s)] 得到进一步支持。根据以上所述, 我们提议鲁山冬凌草素的结构应以(1)式表示。



4  $\times$  OAc:  $\delta$  170.4, 170.1, 169.6, 168.9;  
21.1, 20.9, 20.5, 20.5

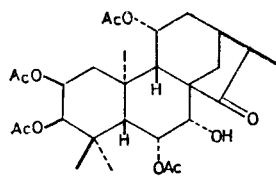
图1 鲁山冬凌草素以 $\text{C}_5\text{D}_8\text{N}$ 作溶剂的  
 $^{13}\text{C}$  NMR数据( $\delta$ /ppm)

(各信号的排布是以宽带去偶, 偏共振去偶和类似化合物相比较而指定, 22.63MHz下测定)



(1)  $\text{R} = \text{H}$

(2)  $\text{R} = \text{Ac}$



(3)

## 实验部分

熔点用Kofler显微测熔仪测定, 未经校正。红外光谱用岛津IR-450型分光光度计测定; 紫外光谱用UV-210A型仪测定; MS用Finnigan-4510型质谱仪测定;  $^1\text{H}$ 和 $^{13}\text{C}$  NMR

用Brucker WH-90型波谱仪测定。

1.5公斤鲁山冬凌草干叶, 乙醚冷浸两次, 每次48小时, 回收乙醚得提取物56克, 甲醇溶解后活性炭脱色, 回收溶剂得粘稠状物20克, 然后进行中性氧化铝柱层分离。苯洗脱部分得白色残留物, 用丙酮处理, 得400毫克白色鲁山冬凌草素结晶(收率0.027%)。从氯仿洗脱部分得 $\alpha$ -amyrin 300毫克, Ursolic acid 410毫克。

1. 鲁山冬凌草素 (1) 无色棱柱状结晶(甲醇中结晶), mp 188—190°C,  $[\alpha]_D^{15}$  62.1° (C=0.99, C<sub>5</sub>H<sub>5</sub>N), UV  $\lambda_{max}^{EtOH}$ : 239nm ( $\epsilon$ 8206). IR  $\nu_{max}^{KBr}$  cm<sup>-1</sup>: 3440, 1730, 1703, 1645, 1248和1225. <sup>1</sup>H NMR (C<sub>5</sub>D<sub>5</sub>N)  $\delta$ : 6.36(1H, s, 7 $\alpha$ -OH, D<sub>2</sub>O 交换消失), 6.07, 5.37 (各1H, s, 17-H<sub>2</sub>), 5.80—5.37(3H, m, 2 $\alpha$ —, 6 $\beta$ —和11 $\beta$ —H), 5.33(1H, d, J=3Hz, 3 $\alpha$ —H), 4.05(1H, d, J=4Hz, 7 $\beta$ —H), 3.00(1H, m, 13 $\alpha$ —H), 2.14, 2.03, 1.98和1.83 (各3H, s, 4 $\times$ OAc), 1.51(3H, s, 20-CH<sub>3</sub>), 1.14(3H, s, 18-CH<sub>3</sub>), 1.07(3H, s, 19-CH<sub>3</sub>); MS (CI 70eV) m/z: 535(M<sup>+</sup>), 517(M<sup>+</sup>-H<sub>2</sub>O), 475(M<sup>+</sup>-AcOH), 457 (M<sup>+</sup>-AcOH-H<sub>2</sub>O), 433 (M<sup>+</sup>-AcOH-ketene), 415 (M<sup>+</sup>-2 $\times$ AcOH), 397(415-H<sub>2</sub>O), 373 (415-ketene), 355(M<sup>+</sup>-3 $\times$ AcOH), 337(355-H<sub>2</sub>O), 313(355-ketene), 295(M<sup>+</sup>-4 $\times$ AcOH), 277(M<sup>+</sup>-4 $\times$ AcOH-H<sub>2</sub>O), 267(M<sup>+</sup>-4 $\times$ AcOH-CO). <sup>13</sup>C NMR数据见图1。

2. 乙酰化物 (2) 50毫克(1) 加入2毫升1:1的醋酐-吡啶溶液, 室温搅拌下乙酰化24小时, 常法处理, 得残留物51.8毫克, 制备薄层分离得(2) 45毫克, 甲醇中得细针晶, mp 177—179°C. IR  $\nu_{max}^{KBr}$  cm<sup>-1</sup>: 1755—1728, 1645, 1250—1218. <sup>1</sup>H NMR (C<sub>5</sub>D<sub>5</sub>N)  $\delta$ : 5.98和5.26(各1H, br. s, 17-H<sub>2</sub>), 5.66(1H, m, 11 $\beta$ —H), 5.54(1H, d, J=4Hz, 7 $\beta$ —H), 5.48—5.28(3H, m, 2 $\alpha$ —, 3 $\alpha$ —和6 $\beta$ —H), 2.96(1H, m, 13 $\alpha$ —H), 2.24, 2.15, 2.12, 1.98和1.77 (各3H, s, 5 $\times$ -OAc), 1.54(3H, s, 20-CH<sub>3</sub>), 1.14(3H, s, 18-CH<sub>3</sub>), 1.02(3H, s, 19-CH<sub>3</sub>); MS (CI 70eV) m/z: 517(M<sup>+</sup>-AcOH), 475(M<sup>+</sup>-AcOH-ketene), 457(M<sup>+</sup>-2 $\times$ AcOH), 415 (M<sup>+</sup>-2 $\times$ AcOH-ketene), 397(M<sup>+</sup>-3 $\times$ AcOH), 355(397-ketene), 337(M<sup>+</sup>-4 $\times$ AcOH), 295(M<sup>+</sup>-4 $\times$ AcOH-ketene), 277(M<sup>+</sup>-5 $\times$ AcOH)。

3. 二氢化物 (3) 取100毫克(1), 溶于6毫升甲醇中, 加入约5毫克5%Pd-C作催化剂, 室温搅拌下氢化2小时, 常法处理得94.3毫克(3), 甲醇中重结晶得无色针晶, mp 189—191°C. IR  $\nu_{max}^{KBr}$  cm<sup>-1</sup>: 3430, 1760—1715, 1240—1228. <sup>1</sup>H NMR (C<sub>5</sub>D<sub>5</sub>N)  $\delta$ : 6.16(1H, s, 7 $\alpha$ -OH, D<sub>2</sub>O 交换消失), 5.73—5.42 (3H, m, 2 $\alpha$ —, 6 $\beta$ —和11 $\beta$ —H), 5.33 (1H, d, J=3Hz, 3 $\alpha$ —H), 3.98 (1H, d, J=4Hz, 7 $\beta$ —H), 2.14, 1.98, 1.96和1.88(各3H, s, 4 $\times$ OAc), 1.50(3H, s, 20-CH<sub>3</sub>), 1.25(3H, d, J=7Hz, 16 $\beta$ -CH<sub>3</sub>), 1.19(3H, s, 18-CH<sub>3</sub>), 1.04(3H, s, 19-CH<sub>3</sub>). MS (CI 70eV) m/z: 537(M<sup>+</sup>), 519(M<sup>+</sup>-H<sub>2</sub>O), 477(M<sup>+</sup>-AcOH), 459 (M<sup>+</sup>-AcOH-H<sub>2</sub>O), 435(M<sup>+</sup>-AcOH-ketene), 417(M<sup>+</sup>-2 $\times$ AcOH), 399(M<sup>+</sup>-2 $\times$ AcOH-H<sub>2</sub>O), 375(M<sup>+</sup>-2 $\times$ AcOH-ketene), 357(M<sup>+</sup>-3 $\times$ AcOH), 339 (357-H<sub>2</sub>O), 315 (357-ketene), 297(M<sup>+</sup>-4 $\times$ AcOH), 281, 269(297-CO)。

4.  $\alpha$ -Amyrin 甲醇中得无色针晶, mp 182—184°C, 对Liebermann-Burchard反应呈

紫红色阳性反应。IR  $\nu_{\max}^{\text{KBr}}$  (KBr)  $\text{cm}^{-1}$ : 3270, 1460, 1380, 1360, 1035, 993.  $^1\text{H}$  NMR ( $\text{C}_5\text{D}_5\text{N}$ )  $\delta$ : 5.79 (1H, br. s,  $3\beta\text{-OH}$ ,  $\text{D}_2\text{O}$ 交换消失), 5.25 (1H, t,  $J=4\text{Hz}$ , 12-H), 3.50 (1H, m,  $3\alpha\text{-H}$ ), 1.27—0.91 ( $\text{CH}_3$ ). MS (EI 70eV)  $m/z$ : 426 ( $\text{M}^+$ ,  $\text{C}_{30}\text{H}_{50}\text{O}$ ), 411 ( $\text{M}^+ - \text{CH}_3$ ), 393 ( $\text{M}^+ - \text{H}_2\text{O}$ ), 218 (基峰), 203, 189, 175, 161. 以上光谱数据与  $\alpha\text{-amyrin}$  标品一致, 混合熔点亦不下降。

**5. ursolic acid** 甲醇中得白色粒晶, mp 262—266°C, 对Liebermann-Burchard反应呈紫红色阳性反应。IR  $\nu_{\max}^{\text{KBr}}$   $\text{cm}^{-1}$ : 3430, 1690, 1450, 1380, 1025, 995.  $^1\text{H}$  NMR ( $\text{C}_5\text{D}_5\text{N}$ )  $\delta$ : 5.50 (1H, t,  $J=4\text{Hz}$ , 12-H), 3.47 (1H, t,  $J=8\text{Hz}$ ,  $3\alpha\text{-H}$ ), 2.65 (1H, d,  $J=12\text{Hz}$ ,  $18\beta\text{-H}$ ), 1.26 (6H, s,  $2 \times \text{CH}_3$ ), 1.04 (6H, s,  $2 \times \text{CH}_3$ ), 1.06, 0.98 和 0.90 (各3H, s,  $3 \times \text{CH}_3$ ). MS (EI 70eV)  $m/z$ : 456 ( $\text{M}^{+1}$ ,  $\text{C}_{30}\text{H}_{48}\text{O}_3$ ), 438 ( $\text{M}^+ - \text{H}_2\text{O}$ ), 423 ( $\text{M}^+ - \text{H}_2\text{O} - \text{CH}_3$ ), 410 ( $\text{M}^+ - \text{H}_2\text{O} - \text{CO}$ ), 395 ( $410 - \text{CH}_3$ ), 312, 300, 287, 273, 248 (基峰), 219, 207, 203, 189, 175. 以上光谱数据与标品 ursolic acid 完全一致。

致谢: 本研究得到周俊副研究员和张覃沐副教授的关怀, 昆明植物研究所李锡文副研究员鉴定植物标本, 物理分析仪器组诸同志进行各项光谱测定, 在此谨表谢意。

### 参考文献

- [1] 河南省医学科学研究所药理药化组, 河南医学院化学教研组, 云南植物研究所植化室, 郑州化学制药厂制剂室, 1978: 一种新的抗肿瘤物质—冬凌草素, 科学通报, 1, 53—56
- [2] 张覃沐, 陈正玉, 晁金华, 赵清治, 孙汉董, 林中文, 1981: 冬凌草又一抗肿瘤有效成份—冬凌草乙素, 科学通报, 22, 1051—1054
- [3] Kubo, I., T. Kamikawa, T. Isobe and T. Kubota, 1974: Bitter principles of *Isodon umbrosus* Hara. The structures of umbrosin A and B. *Bull. Chem. Soc. Jpn.*, 47: 1277—1279.
- [4] Gonzalez, A., B. M. Fraga, M. G. Hernandez and J. R. Hanson, 1981: The  $^{13}\text{C}$  NMR spectra of some *ent*-18-hydroxykaur-16-enes. *Phytochemistry*, 20 (4): 846—847.
- [5] Hanson, J. R., M. Sivers, F. Piozzi and G. Savona, 1976: The  $^{13}\text{C}$  nuclear magnetic resonance spectra of kauranoid diterpenes. *J. Chem. Soc. perkin Trans.*, 1: 114—117.
- [6] Yamasaki, K., H. Kohda, T. Kobayashi, R. Kasai and O. Tamaka, 1976: Structures of *stevia* diterpene-glucosides: application of  $^{13}\text{C}$  NMR. *Tetrahedron letters*, 13: 1005—1008.
- [7] Takeda, Y., T. Fujita and A. Ueno, 1981: Structures of leukamenins. *Chemistry letters*, 1229—1232.

## STUDIES ON THE STRUCTURE OF LUSHANRUBESCENSIN

Qin Chongqiu, Liu Chenjiang, Li Jicheng, An Xinzong

(Henan Medical Institute, Zhengzhou)

Sun Handong\*, Lin Zhongwen

(Kunming Institute of Botany, Academia sinica)

### Abstract

During the course of our studies on the biologically active constituents of *Rabdosia* plants, we examined the ether extract of the leaves of *Rabdosia rubescens* (Hemsl.) Hara collected in Lushan, Henan. A new diterpenoid, lushanrubescensin (1) was isolated together with  $\alpha$ -amyrin and ursolic acid. On the basis of spectroscopic and chemical evidence, the structure of (1) has been established as ent-7 $\beta$ -hydroxy-2 $\alpha$ , 3 $\alpha$ , 6 $\beta$ , 11 $\beta$ -tetraacetoxy-16-kauren-15-one.